

教案讨论一

分子热运动和统计分布

在经典物理中，单个粒子的运动遵守牛顿力学的规律。若已知某个粒子在初始时刻的位置和速度后，求解牛顿方程可预言该粒子在任何时间的位置。

宏观体系是由大量原子和分子组成的。例如，在标准状况下的气体，每立方厘米有 2.69×10^{19} 个分子。物体的宏观性质（压强、比热和相变等）是大量分子运动的平均结果。如果想根据牛顿力学来确定气体的宏观性质，就要求解 $\sim 10^{19}$ 个相互碰撞的分子的牛顿方程。显然，这在实际上是不能办到的，而且也没有必要，因为大量粒子组成的体系出现了新的规律性——**统计规律性**。根据这种新的规律性，就能确定宏观物体的性质。显示统计规律性的一个例子是气体分子运动的速率分布。

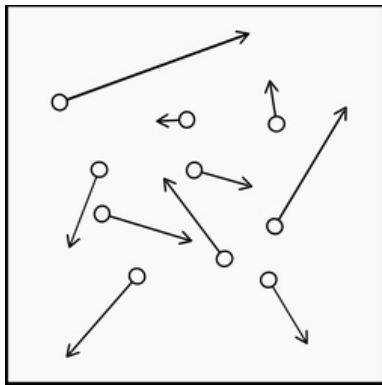


图 1 分子运动

设想在一个容器里装有气体， N 个分子在不停地运动并相互碰撞，同时与器壁碰撞，见图 1。在每一瞬间，每个分子都有一定的速度 v_i 。由于碰撞非常频繁，各个分子的速度都在不断变化着，可谓是瞬息万变。

在 N 个分子中，有的跑的快，有的跑的慢。为了对 N 个分子的运动情况有整体的定量了解，可以按速率 $v = |\mathbf{v}|$ 来作统计。统计时，不关心个别分子的速率 v 是如何随时间而变化的，而是要知道

在某一瞬时，按速率来统计分子数目的分布 $n = n(v)$ （见图 2）：将速率 v 分成许多等间隔的区间， $[v, v + \Delta v]$ ，区间的宽度为 Δv 。各个分子按其速率大小而落在某个速率区间中。记下各个区间中的分子数目，就得到分子按速率的分布 $n(v)$ 。由于分子碰撞，这种分布 $n(v)$ 也随时间而变化着。

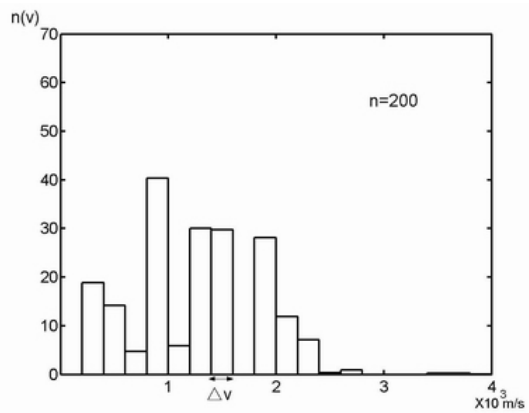


图 2 分子数目按速率的分布

为了直观地看出此种分布及其随时间的变化，可以用刚球模型来进行演示，

将分子用刚球来代替。刚球之间的碰撞是完全弹性的，刚球在器壁上的碰撞也是弹性的，动量和动能都是守恒的。在一个边长为 l 的正方形容器内，有 N 个刚球。为了减少计算工作量，采用的是二维运动模型，刚球只在平面上运动。

复旦大学物理系钟万蘅教授领导的“复旦大学物理系 CAI 研发中心”研制成了一套软件[#]，可模拟各种分子运动论的演变过程，包括平衡态和非平衡过程，受到各国同行专家的称赞，达到了国际先进水平。

利用此软件可以形象地看出统计规律性：当粒子数 N 很少时，按速率的分布 $n(v)$ 随时间很快的变化，显得“杂乱无章”，没有稳定的分布。但是，当 N 很大时， $n(v)$ 随时间变化很小。并且，当 N 增加时， $n(v)$ 的变动减小，形成了稳定分布，出现了统计规律性。下面来看详细过程。

1. 少数粒子的情况

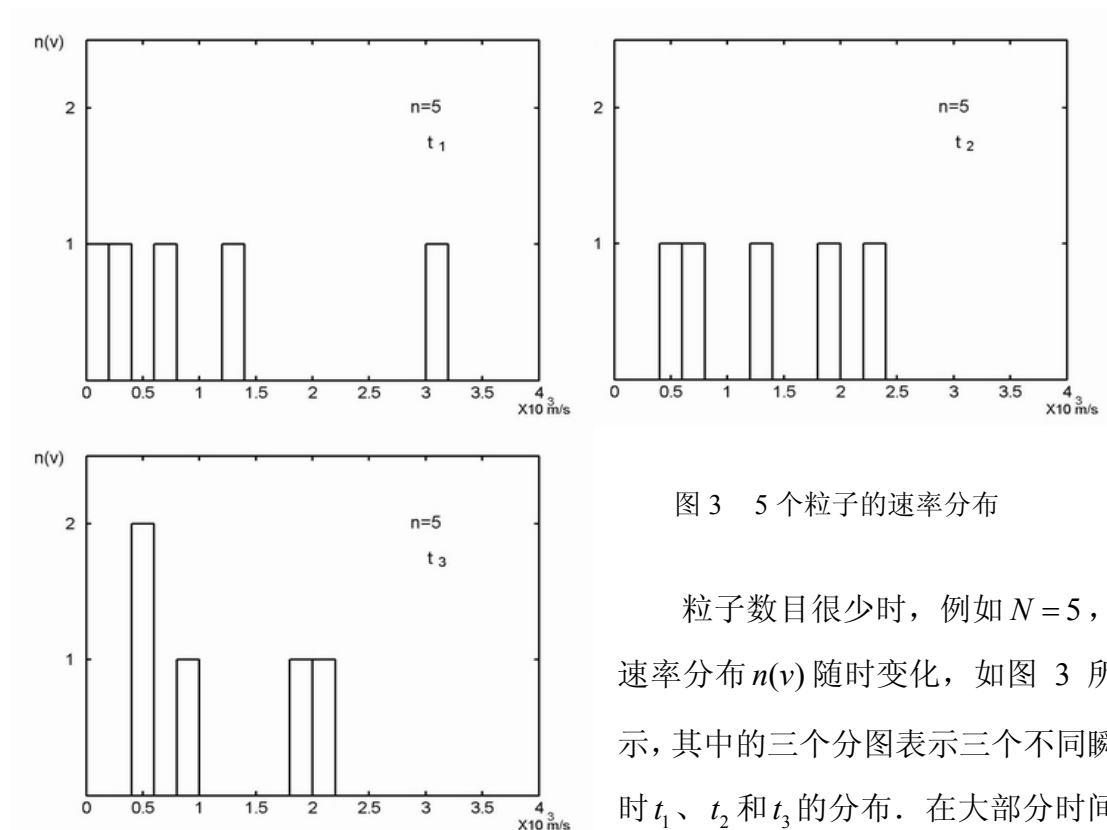


图3 5个粒子的速率分布

粒子数目很少时，例如 $N = 5$ ，速率分布 $n(v)$ 随时变化，如图 3 所示，其中的三个分图表示三个不同瞬时 t_1 、 t_2 和 t_3 的分布。在大部分时间

内，某些区间内只有一个粒子，其它区间内没有粒子（见图 3 中的前两个分图）。偶尔在某个区间中出现两个粒子（图 3 中的第三个图）。各个瞬时的分布，差别很大，没有稳定的分布。

2. 粒子数目增多

当粒子数 N 增加时，每个速率间隔 Δv 中的粒子数目可以很多。此时，速率分布 $n(v)$ 不再像图 3 那样的断断续续，而是连成一片，有高有低（见图 4）。总

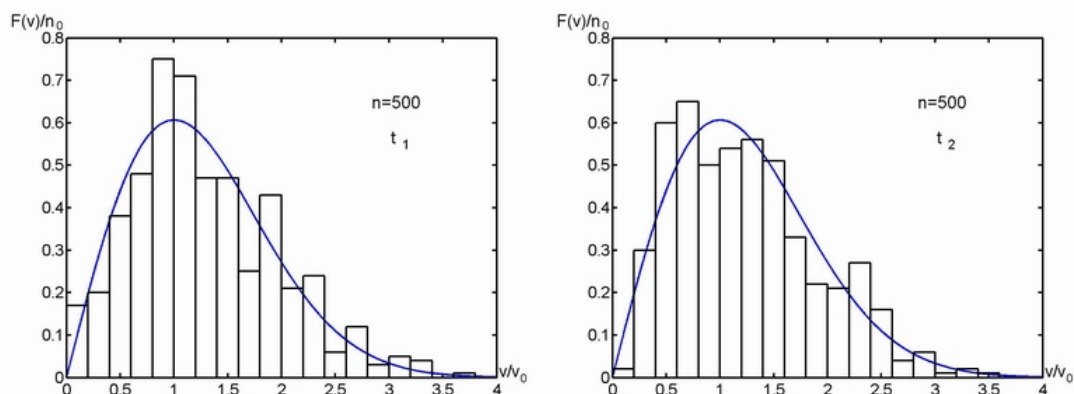


图 4 500 个粒子的速率分布. 横坐标是速率, 它以最可几速率 v_0 作单位.

体来看, 在分布的条形折线上, 中间高两边低, 分布 $n(v)$ 随着时间在变化, 但变化总是围绕着图中的一条稳定曲线在上下起伏. 图 4 是当 $N = 500$ 时的分布, 其中的两个分图表示两个不同的时刻, 两者不同. 图中有一条稳定的曲线, 不同时刻的条形折线都在此稳定曲线附近.

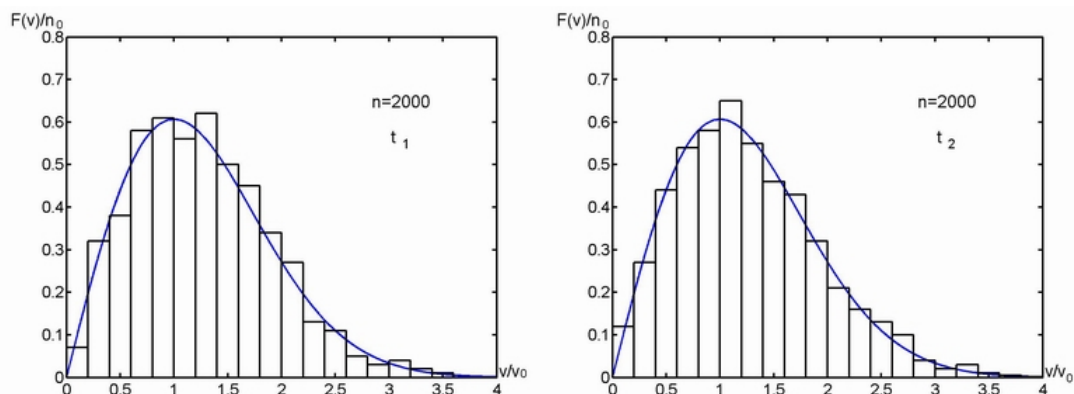


图 5 2000 个粒子的速率分布

如果 N 增加到 2000, 如图 5 所示, 条形折线更靠近稳定的曲线, $n(v)$ 虽然仍在变化着, 但起伏的幅度变小了.

可以想象, 当 N 很大很大时, 像在气体中那样, $N \sim 10^{19}$, 速率分布 $n(v)$ 将趋向此稳定曲线, 起伏非常小, 称为 **Maxwell 分布**.

还可以作另一种演示, 将有限个粒子 (例如 $N = 500$) 的分布对时间取平均, 即将各个瞬时的分布相加再除以取样的次数. 在此过程中, 正负起伏相互抵消, 条形折线就趋向于 Maxwell 分布. 图 6 表示 $N = 500$ 时的分布按时间的平均值, 它趋向 Maxwell 分布. 当 N 有限时, 即使 $t \rightarrow \infty$ 也不会完全达到 Maxwell 分布. 与

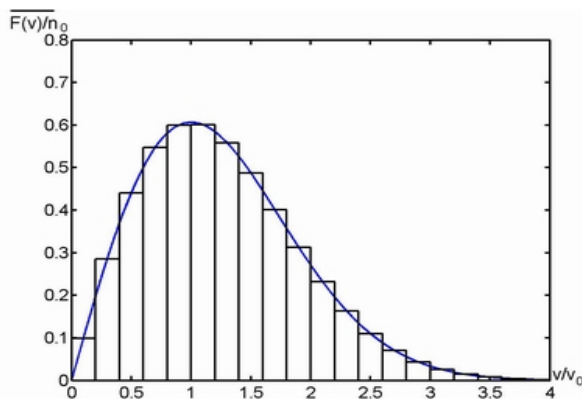


图6 速率分布的时间平均值

理想 Maxwell 分布的相对均方偏差 σ 随 t 趋向非零值 σ_0 ,
 $\sigma_0 \sim 1/\sqrt{N}$. 对系综取平均时,
 $\sigma_0 \sim 1/\sqrt{N}$. 时间平均和系综平均的结果相同.

3. Maxwell 速率分布

上面从计算机模拟实验中看到, 当粒子数目不断增大时, 速率

分布 $n(v)$ 的起伏愈来愈小, 趋向于一种稳定的分布, 呈现了统计规律性*.

对于三维体系, 这种稳定分布的定量表达式是

$$f(v) = 4\pi n \left(\frac{m}{2\pi kT} \right)^{\frac{3}{2}} v^2 e^{-\frac{mv^2}{2kT}}, \quad (1.1)$$

其中, n 是粒子的密度, m 是粒子的质量, k 是 Boltzmann 常数, T 是温度 (绝对温标).

(1.1)式就称为 Maxwell 分布.

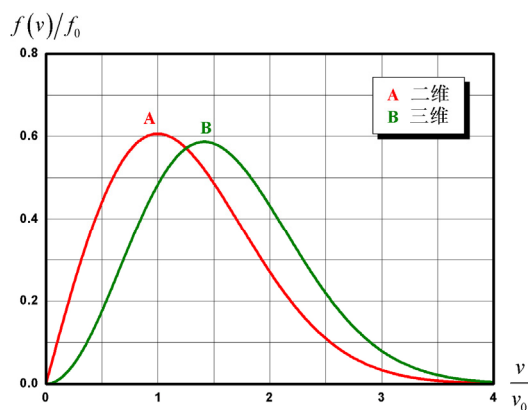
有了统计分布, 就可以通过计算平均值来求得各种宏观物理量, 不用知道各个分子的运动细节了.

前面的演示只是从计算机模拟看到的现象. 我们自然会提出一个问题: 此现象背后的物理原理是什么? 如何从基本原理推导出 Maxwell 分布?

这是统计物理的基础, 也是该课程所要讲解的中心内容.

对于 Maxwell 分布(1.1)式, 要作两点说明:

(1) 应该提醒, 公式(1.1)是三维情况, 而前面的计算机模拟是二维情况, 其分布不同于三维情况. 二维的 Maxwell 分

图7 二维和三维 Maxwell 分布(以 $v_0 = \sqrt{kT/m}$ 和

$f_0 = n/v_0$ 为单位)

* 这里, 出现了一个问题: 刚球碰撞遵循力学规律, Maxwell 分布反映统计规律; 该模拟从刚球碰撞得到 Maxwell 分布, 意味着从力学规律导出了统计规律, 这可能吗? 如何理解力学规律性与统计规律之间的关系? “教案讨论二”将对这一问题作分析说明.

布是

$$f(v) = 2\pi n \left(\frac{m}{2\pi kT} \right) v e^{-\frac{mv^2}{2kT}}. \quad (1.2)$$

图 7 中的两条曲线分别表示二维和三维速率分布, 这两者有一点显著的差别: 在低速范围内 (曲线的左端), 二维是直线上升 ($\sim v$), 三维是抛物线上升 ($\sim v^2$). 图 6 中的分布, 在低速范围内是线性上升而不是抛物线上升, 这正是二维分布的特征, 这也证实了本演示的正确性.

(2) 还有一点需要说明. 在演示中, 粒子的总能量 $E = \sum_{i=1}^N \frac{1}{2} m v_i^2$ 是守恒的. 统计物理可以证明, 每个粒子的平均动能为

$$\bar{\varepsilon} = \begin{cases} 3kT/2 & (\text{二维}) \\ kT & (\text{三维}) \end{cases}, \quad (1.3)$$

因此, 总能量 E 与温度之间的关系是

$$E = N\bar{\varepsilon} = \begin{cases} 3NkT/2 & (\text{二维}) \\ NkT & (\text{三维}) \end{cases}. \quad (1.4)$$

图 4—图 6 对应的是氦原子在 $T = 273 \text{ K}$ 的速率分布, 此时的最可几速率为 $v_0 = 1.07 \times 10^3 \text{ m} \cdot \text{s}^{-1}$.

该中心设计了一个《气体分子运动理论人机交互程序》, 使成千个粒子按牛顿力学规律相碰撞, 进行能量和动量交换, 从而较好地解决了二维气体分子无规热运动的模拟问题. 该程序不但可以用来定性地展示气体分子的无规热运动状态, 而且还可以实时地测量系统内每个粒子的空间位置、速率和速度分量, 实时地求出粒子按空间、速度和自由程等的分布 (曲线), 得到能量和位移平方等物理量的 C 值, 与理论值和实验值相比较.